



کانی‌شناسی، زمین‌شیمی و خاستگاه ذخیره منگنز قره‌سبلان، شمال مشگین‌شهر (استان اردبیل)

کمال سیاه چشم^{*} ، سولماز جعفرصادقی پورناکی

گروه علوم زمین، دانشکده علوم طبیعی، دانشگاه تبریز، تبریز، ایران

(دریافت مقاله: ۹۹/۵/۲۶، نسخه نهایی: ۹۹/۷/۱۶)

چکیده: کانی‌سازی نوع گرمابی منگنز در منطقه آتشفشاری-رسوی قره‌سبلان (شمال مشگین‌شهر) و در دورترین بخش شرقی ایالت فلززایی قره‌داغ-سبلان قرار دارد. این منطقه پوشیده از سنگ‌های آتشفشاری-آذرآواری و بروند محدود تودهای نیمه‌نفوذی (کوارتز‌مونزودیوریتی) با سن ائوسن تا الیگوسن است. تراکی آندزیت پورفیری برشی شده و توف ریولیتی تا ریوداسیتی میزبان کانه‌زایی منگنز به صورت رگه-رگچه‌ای، گزننهای پراکنده و سیمان پرکننده پهنه‌های برشی هستند. شکستگی‌ها و ریز شکاف‌های با راستای غالب شمال شرقی-جنوب غربی (NE-SW)، ناشی از رها شدن نیروهای فشارشی غیرهمراست، بعنوان کنترل‌کننده‌های ساختاری کانی‌سازی منگنز عمل نموده‌اند. کانی‌شناسی اصلی ذخیره را پیرولووستیت، منگانیت، پسیلوملان، هماتیت و گوتیت با بافت غالب پرکننده فضای خالی، جانشینی، تودهای، کلئنیدی و برشی تشکیل می‌دهند. الگوهای توزیع عناصر خاکی نادر (REE) در همه نمونه‌های کانسینگ بیانگر ناهنجاری منفی مشخص Ce (۰/۱۳ - ۰/۰۴)، میانگین ۰/۰۸، میانگین ۰/۰۴، میانگین ۰/۰۲، میانگین ۰/۰۳۲) هستند. نسبت‌های Mn/Fe (میانگین ۰/۱۲۲)، Co/Ni (میانگین ۰/۰۲۴)، Co/Zn (میانگین ۰/۰۲۸)، U/Th (میانگین ۰/۰۶۸)، La/Ce (میانگین ۰/۱۷۷)، La_n/Nd_n (میانگین ۰/۰۸۲)، Dy_n/Yb_n (میانگین ۰/۰۱۶)، La_n/Ce (میانگین ۰/۰۹۵) و مقدار کل REE‌ها (میانگین ۰/۰۶۳ - ۰/۰۷۰) می‌تواند نشانگر قرارگیری این ذخیره در رده ذخایر گرمابی منگنز داشته باشد. ماهیت اکسیدی سیال کانه‌دار و افزایش pH ناشی از آبکافت فلدسپارها طی تشکیل پهنه‌های دگرسانی درون‌زاد به ترتیب عوامل اصلی و فرعی در ته نشست کانی‌های منگنز شناخته واقع شده‌اند.

واژه‌های کلیدی: ذخیره منگنز، زمین‌شیمی، گرمابی، عناصر خاکی نادر، قره‌سبلان، مشگین‌شهر.

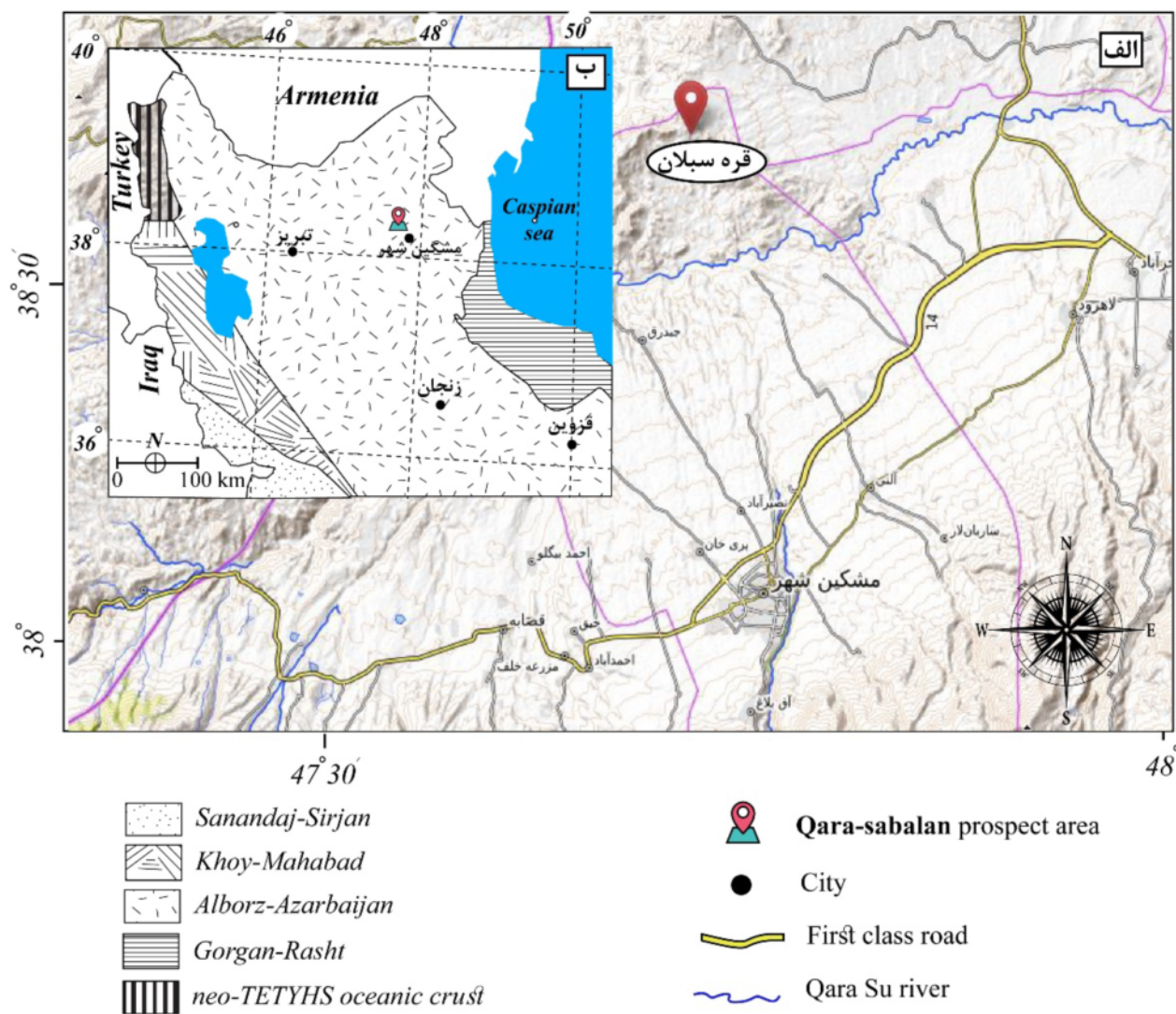
ژرف، دارای مقادیر بیشتری از این عناصر هستند. علت این امر رشد کند و در نتیجه، حضور طولانی تر آن‌ها در آب دریا و اثر فرآیندهای مختلف درگیر در جذب ویژه است [۵، ۶]. کانسارهای منگنز نوع گرمابی با داشتن مقادیر بالاتر Mn/Fe نسبت به نوع آبزاد، در دو محیط زمین‌ساختی مختلف (الف) به صورت چینه گران با ساختار لایه لایه و تودهای نامنظم برآمده از سیال‌های گرمابی زیردریایی و یا ب) به صورت رگه‌های فراگرمایی درون شکستگی‌های سنگ میزبان، به طور مستقیم از محلول‌های گرمابی دما پایین نهشته می‌شوند [۷، ۸]. از نظر خاستگاه، سه نوع زیشی رسوی-آتشفشاری، گرمابی و چند زیشی برای ذخایر گوناگون منگنز کشور می‌توان در نظر گرفت.

مقدمه

از نظر زیشی، اکسید و هیدروکسیدهای منگنز می‌توانند از خاستگاه آبراد، درونزادی و یا گرمابی نهشته شوند [۱، ۲]. ذخایر نوع آبزاد با نرخ رسوب‌گذاری بسیار پایین (۰/۰۱ تا ۰/۰۱۰ میلیمتر در میلیون سال) در آب دریا تهنشین می‌شوند. اکسیدهای منگنز به دلیل بار سطحی منفی، بسیار واکنش پذیر هستند و ظرفیت جذب سطحی بالایی برای کاتیون‌های مختلف Zn, Cu, Ni, Co و Pb در نهشته‌های نوع آبزاد نسبت به نهشته‌های گرمابی بیشتر است. کانسارهای درونزادی (مانند گرهک‌های منگنز کف اقیانوس آرام) در مناطق گودابهای، در مقایسه با آبهای کم

ذخیره منگنز قره سبلان در ۲۴ کیلومتری شمال مشگین شهر (استان اردبیل)، بین طول‌های جغرافیایی $34^{\circ}35'$ تا $38^{\circ}23'$ شمالی و عرض‌های جغرافیایی $42^{\circ}36'$ تا $47^{\circ}47'$ شرقی، در پهنه آتشفشاری روسوبی ترشیری البرز غربی-آذربایجان [۱۴، ۱۵] واقع است (شکل ۱). کانی‌سازی در منگنز قره سبلان منطبق بر گسل‌ها و شکستگی‌ها و به شکل رگه‌ها و آغشتگی‌های سطحی سنگ‌های آندزیتی بچشم می‌خورد. در این پژوهش، سنگ‌نگاری، کانی‌شناسی و زمین‌شیمی این ذخیره برای تعیین خاستگاه، عوامل تمرکز منگنز و چگونگی تشکیل این نهشته، بررسی شده است.

ذخیره منگنز روسوبی-آتشفشاری ایران به پهنه آمیزه‌ی رنگین نسبت داده می‌شوند و بیشتر همراه با چرت‌های رادیولاریتی، شیل و آهک‌های گودابه‌ای با هندسه عدسی رخ داده‌اند. این گروه از غنی‌ترین و عمدت‌ترین کانسارهای منگنز کشور به شمار می‌روند. از جمله آن‌ها می‌توان به ذخیره منگنز چالدران (خوی) [۹، نیریز (فارس)] [۱۰، دیهو (زاهدان)] [۱۱] و کامیاران (کرمانشاه) [۱۲] اشاره کرد. کانسارهای منگنز از نوع فراگرمایی چون کانسارهای ونارج (قم)، رباط کریم (تهران)، بزنین (اصفهان) و عبدل‌آباد (قزوین) [۱۳] نیز اغلب بشکل رگه‌ای در مجموعه آذرآواری و آتشفشاری دیرینه‌زا، از مقام بعدی اهمیت برخوردارند.

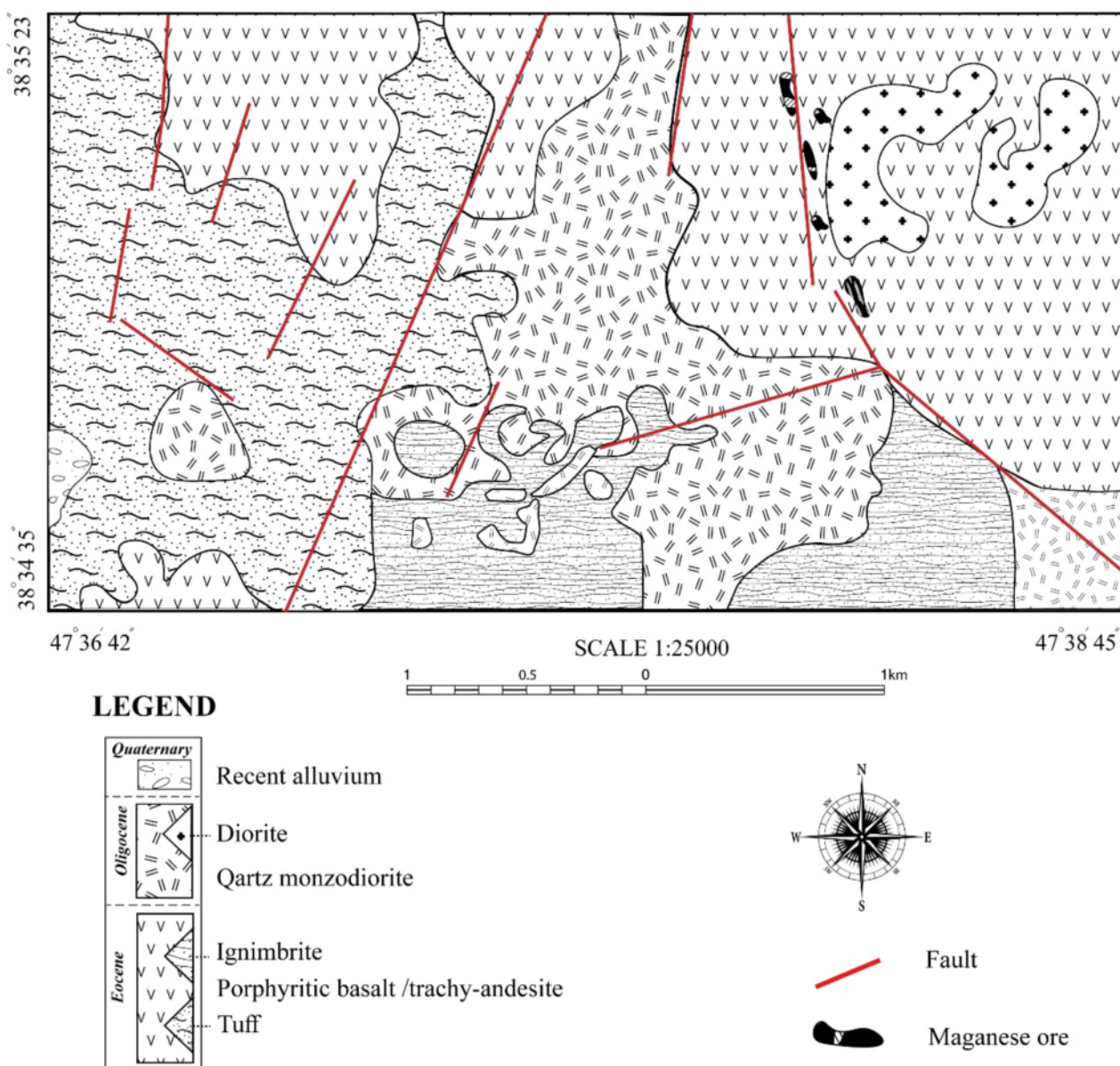


شکل ۱ الف: نقشه مکان‌نگاری ناحیه‌ای و راه‌های دسترسی به منطقه مورد بررسی از سایت <https://opentopomap.org/> ، ب) موقعیت منطقه بر پرشی از نقشه زمین‌ساختی - روسوبی ایران برگرفته از مراجع [۱۴، ۱۵] با تغییرات جزئی.

سنگ میزبان و ۱۴ مقطع صیقلی از کانسنسنگ، به ترتیب از نظر سنگ‌نگاری و کانه‌نگاری بررسی شدند. بررسی‌های زمین‌شیمی، تعداد ۵ نمونه از کانسنسنگ منگنز انتخاب شده و پس از آماده‌سازی به روش ذوب لیتیم متaborات، و انحلال در چهار اسید، به منظور اندازه گیری عناصر اصلی، کمیاب و خاکی نادر در آزمایشگاه شرکت زرآزمای روش طیف سنجی جرمی پلاسمای جفت شده القایی (ICPMS) تجزیه شدند.

روش بررسی

در این پژوهش، پس از پیمایش‌های صحراوی و بررسی ویژگی‌های زمین‌ساختاری، دگرشكلی و دگرسانی قابل تشخیص در منطقه، برای تهیه نقشه زمین‌شناسی به مقیاس ۱:۲۵۰۰۰ اقدام گردید (شکل ۲). در این مرحله، بیش از ۸۰ نمونه سنگی از سنگ درونگیر تراکی آندزیتی و کانسنسنگ منگنز برداشت شد. از بین آن‌ها، تعداد ۱۲ مقطع نازک از پهنه‌های دگرسان و



شکل ۲ نقشه زمین‌شناسی منطقه و موقعیت ذخیره منگنز قره‌سبلان بر آن.

بحث

زمین‌شناسی و سنگنگاری

منطقه مورد بررسی در گوشه جنوب‌شرقی کمریند فلززایی قره داغ-سبلان، در پهنه اکتشافی ارسباران (پهنه شماره^۳) از پهنه‌های ساختاری- فلززایی اکتشافی بیست‌گانه سازمان زمین‌شناسی و اکتشافاتمعدنی کشور قرار دارد و بخشی از پهنه‌معدنی- دگرسانی شمال‌غرب مشگین‌شهر محسوب می‌شود. این منطقه در بخش جنوب غربی نقشه زمین‌شناسی ناحیه‌ای، بخش گستردگی از رخنمون‌های این منطقه را نهشت‌های آتشفشاری اوسن تشکیل می‌دهند که تحت تأثیر تزریق توده‌های نفوذی (حدواسط تا اسیدی) با ترکیب کوراتر مونزونیت، گرانوودیوریت تا گرانیت قلیابی به سن الیگومن، دچار دگرسانی‌های مختلفی مانند سیلیسی، کالوئینیتی و آلونیتی شده‌اند. توده گرانوودیوریتی غالب در این ناحیه با استوک و دایک‌های مونزوندیوریتی (خاکستری تا سبز تیره) در راستاهای مختلف قطع شده‌است [۱۷].

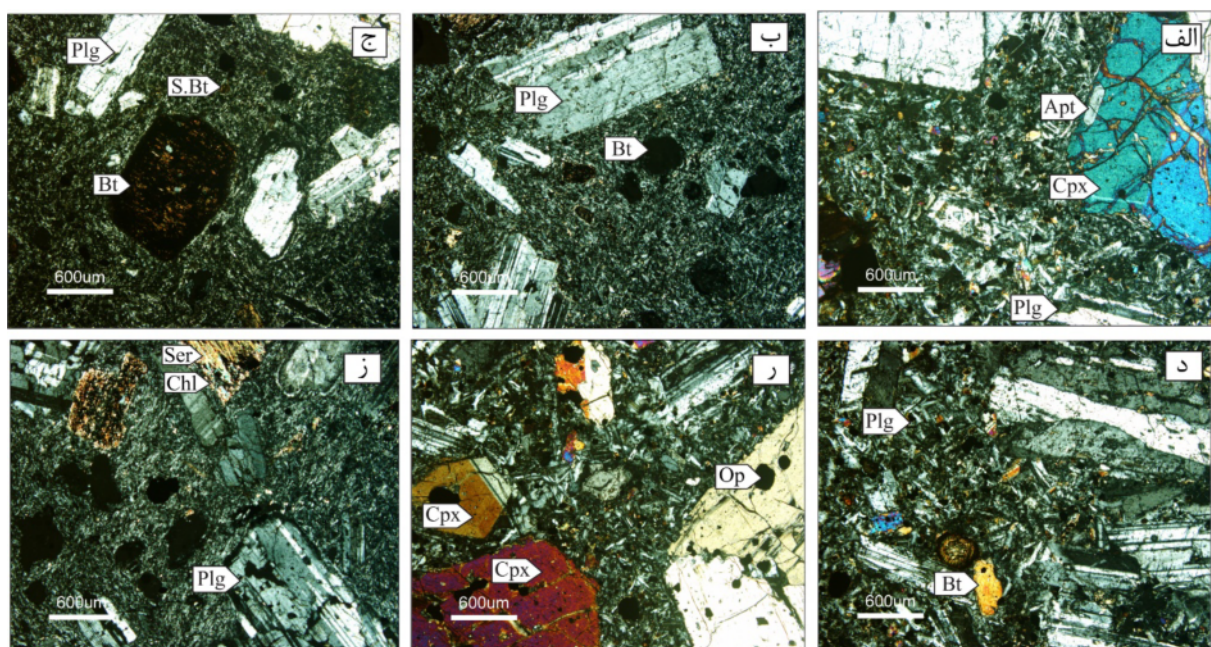
کانی‌سازی

کانه‌زایی اقتصادی منگنز در رخداد معدنی قره‌سبلان در بخش‌های تراکی‌آندزیت برشی شده دیده می‌شود و اغلب به صورت رگه-رگچه‌ای درون شکستگی‌ها و ریز شکاف‌های با راستای غالب N40°E و با شیب ۳۵ درجه به سوی جنوب شرق رخداده است. پهنه‌های کانه‌دار رگه‌ای دارای ضخامت متوسط حدود ۱/۵ متر بوده و به صورت گسسته تا چند ده متر قابل ردگیری هستند. با آزاد شدن نیروهای فشارشی با راستای کلی شمال‌غربی-جنوب شرقی، کانه زایی توسط سیال‌های گرمابی باردار از منگنز در شکستگی‌های عمود بر جهت فشار و در راستای غالب NE-SW انجام شده است. کانی‌سازی منگنز بصورت گرنژهای پراکنده، جانشینی، کلوئیدی، پرکنده سیمان برش‌های گرمابی و رگه-رگچه‌ای قابل مشاهده است. تغليظ منگنز در سطح بازخوردی از اثر فرایندهای برونزاد بر سنگ‌های آتشفشاری درونگیر کانی‌سازی منگنز بوده که با تشکیل و گسترش پیرولوسیت، پسیلوملان و منگانیت به عنوان کانی‌های اصلی منگنز همراه بوده است. گوتیت و هماتیت نیز در برخی از نمونه‌های کانسنگ منگنز رخ داده‌اند که حدود ۵ تا ۲۵ درصد مقاطع را تشکیل می‌دهند. تشکیل هماتیت اولیه بوده که در محل شکستگی‌ها اغلب به گوتیت تبدیل شده است. بررسی میکروسکوپی مقاطع صیقلی نشان می‌دهد که رگه‌ها از کانی-

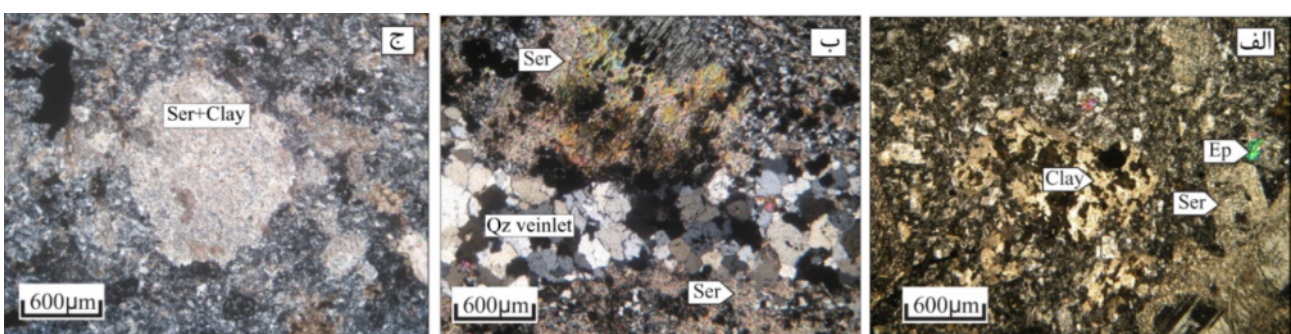
که در آن پیرولوسيت با نواربندی متناوب نازک‌لایه به عنوان کانی تأخیری منگنز بحساب می‌آید. از نظر همبزایی، پیرولوسيت پس از منگانیت و به خرج آن به وجود آمده است. بافت‌های ثانویه تنش آواری که در معرض فعالیت‌های زمین ساختی پس از تشکیل کانسنگ هستند نیز در کانی پیرولوسيت دیده می‌شوند (شکل ۵ الف تا ت).

های پیرولوسيت، منگانیت، پسیلوملان و اکسید و هیدروکسیدهای آهن به همراه کانی‌های کلسیت و کوارتز تشکیل شده‌اند نتایج بررسی‌ها در ادامه بیان می‌شود.

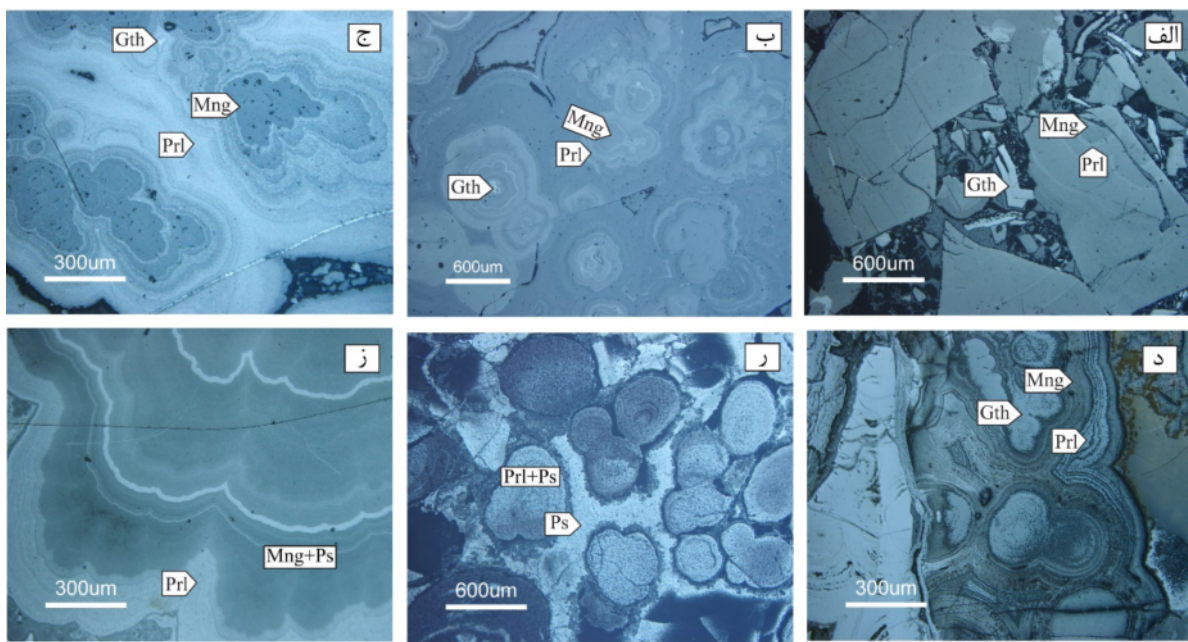
پیرولوسيت (MnO_2): با بافت تودهای فراوان‌ترین کانی منگنز در رخداد معدنی قره سبلان است. این کانی با چندرنگی ضعیف و ناهمسانگردی بسیار قوی از دیگر کانی‌های منگنز قابل تشخیص است. بافت کلوئیدی یا گل کلمی نیز نشان می‌دهد



شکل ۳ تصاویر میکروسکوپی واحد تراکی آندزیت میزبان کانی‌سازی (در نور قطبیده متقطع، XPL): (الف) پلاژیوکلاز دارای ماکل کارلسbad با بافت میان دانه‌ای و کلینوپیروکسن در حال تجزیه به اکسیدهای آهن، (ب) بافت ریز سنگی پورفیری به همراه درشت بلورهای پلاژیوکلاز با ماکل آلبیتی، کارلسbad و بلورهای ریز بیوتیت، (پ) پلاژیوکلاز در هم رفته و سریسیتی شده همراه با آثار بیوتیت‌های ثانویه، (ت) بافت ریز دانه‌ای تا پورفیری شامل از کانی‌های کوارتز فلدسپاتی و بیوتیت‌های با لبه سوخته، (ث) ریز بلورهای خرد شده اوژیتی در زمینه‌های پلاژیوکلاز جهت یافته و (ج) بافت تراکیتی در بردارنده درشت بلورهای پلاژیوکلاز با آثار بیوتیت‌های کلریتی و سریسیتی شده. Plg: پلاژیوکلاز، Cpx: کلینوپیروکسن، Bt: بیوتیت، Apt: آپاتیت، Op: اپاتیت، Chl: کلریت و Ser: سریسیت [۱۸].



شکل ۴ تصاویر میکروسکوپی از دگرسانی فیلیک-آرژیلی رسی: (الف) دگرسانی فیلیک-آرژیلی رسی: روپوشانی کانی‌های فرومیزین و فلدسپار توسط کانی‌های رسی و سریسیت با آثار اپیدوت، (ب) جانشینی سریسیت بجای پلاژیوکلاز (دگرسانی فیلی) و انبوهای از رگچه‌های کوارتز (دگرسانی سیلیسی) و (پ) تبدیل فلدسپار به سریسیت و کانی‌های رسی. نشانه‌های اختصاری کانی‌ها برگرفته از مرجع [۱۸] است.



شکل ۵ تصاویر میکروسکوپی نمونه‌های کانسنگ ذخیره منگنز قره‌سبلان در نور بازتابی: (الف) مجموعه گوتیت، پیرولوسیت و منگانیت با بافت برشی، (ب) بافت کلوئیدی و جانشینی کانی منگانیت توسط پیرولوسیت، (پ، ت) پیرولوسیت با نواریندی نازک در حال جایگزینی گوتیت و منگانیت از مرکز تا لبه، (ث) بافت گرهکی کانی‌های منگنز و بلورهای ریز سوزنی شکل پسیلوملان در فضای بین دانه‌ها و (ج) بافت گل کلمی مرکب از همرشدی کانی‌های منگانیت و پسیلوملان در حال جانشینی توسط پیرولوسیت؛ Prl: پیرولوسیت، Ps: پسیلوملان، Mng: منگانیت و Gth: گوتیت [۱۸].

کانسارهای منگنز در شرایط مختلف محیط‌های زمین‌شناسی چون گرمابی، آب زاد، درونزاد و زیستزاد – میکروبی به شمار می‌روند [۲، ۱۹]. از میان اکسیدهای عناصر اصلی، مقادیر Mn، Fe، Ti و Al برای تشخیص خاستگاه ذخایر منگنز بسیار کاربردی هستند [۲۰]. در این راستا و به منظور تعیین نوع و خاستگاه کانه‌زایی در ذخیره منگنز قره‌سبلان، برخی از مهمترین نسبت‌ها و پارامترهای عنصری در این زمینه بررسی شدند که در ادامه بیان می‌شوند.

نسبت Mn/Fe : از شاخص‌هایی که بر پایه آن می‌توان کانسارهای منگنز با خاستگاه گرمابی را از نهشته‌های با خاستگاه آب‌زاد تفکیک کرد، نسبت Mn/Fe است این نسبت در رسوب‌های برون‌دمی (سدکس) مقادیری متغیر در گستره ۰/۱ تا ۱۰ را دارد و برای نهشته‌های آب زاد برابر با یک است [۲۱، ۲۲]. نسبت‌های کمتر از یک نیز به عنوان شاخصی برای نهشت کانه‌های منگنز در محیط‌های دریاچه‌ای در نظر گرفته شده است [۸]. این در حالی است که نسبت‌های بسیار بالای Mn/Fe و مقادیر بسیار پایین آن به ترتیب تفکیک و جدایش این دو عنصر طی حمل و نقل در فعالیت‌های گرمابی و کانه‌زایی در محیط‌های رسوبی است [۲۳]. در ذخیره منگنز

پسیلوملان ($Ba(Mn^{2+}, Mn^{4+})_9O_{18} \cdot 2H_2O$): با بافت قلوهای شکل دندانه‌دار و شدت بازتابش متوسط، ناهمسانگردی و چندرنگی قوی در نور بازتابی ظاهر می‌شود. وجود بلورهای ریز سوزنی شکل در ابعاد کمتر از ۵۰ میکرومتر وجه تمایز این کانی از دیگر کانی‌های منگنز است. در نمونه‌های قره‌سبلان، پسیلوملان با بافت کلوئیدی به صورت همرشدی با بلورهای منگانیت و نیز به صورت سیمان پرکننده فضای بین دانه‌ها دیده می‌شود (شکل ۵ ث-ج).

منگانیت ($MnOOH$) از نظر فراوانی دومین کانی موجود در منطقه است. این کانی در زیر میکروسکوپ به رنگ خاکستری مایل به آبی فیروزه ای با ناهمسانگردی بسیار بالا قابل تشخیص است. منگانیت بیشتر توسط پیرولوسیت جانشین شده است و به صورت نوارهای متناوب با آن دیده می‌شود (شکل ۵ الف تا ت). گاهی این کانی با پسیلوملان گاهاً همرشدی نشان می‌دهد (شکل ۵ ج).

زمین‌شیمی ذخیره عناصر اصلی

مشخصه‌های زمین‌شیمی مانند نسبت‌های عناصر اصلی و مقدار عناصر کمیاب از معیارهای مهم و اساسی برای تفکیک

رسوبی با غنی شدگی در عناصر K, Na, Ca, Mg, Sr, Co, Cu, Ni از هم تفکیک می‌شوند [۲۱]. با مقایسه رفتار این عناصر نسبت به هم، نمودارهای مختلفی برای تفکیک نوع‌های زایشی کانسارهای منگنز طراحی شده است. جایایی نمونه‌های قره‌سبلان در برخی از این نمودارها، می‌تواند برای شناسایی نوع این ذخیره سودمند باشد که در ادامه توضیح داده می‌شود.

نمودار سه تایی Fe-Mn-(Ni+Co+Cu): اکسیدهای با خاستگاه گرمابی نسبت به کانسارهای رسوبی-دریایی در عناصر نیکل، مس، کبالت و روی تهی شده‌اند. در کانسارهای منگنز آبراز، به Pb Zn, Cu, Ni, Co، دلیل جذب سطحی کاتیون‌های چون Co^{2+} , Ni^{2+} , Cu^{2+} و Zn^{2+} توسط کلوئیدهای اکسیدی منگنز که بار سطحی منفی دارند، غنی شدگی قابل توجهی از این عناصر دیده می‌شود [۲۶]. این امر ناشی از رشد گند و در نتیجه، حضور طولانی تر آن‌ها در آب دریا و اثر فرآیندهای مختلفی که در جذب ویژه دخالت دارند است [۵]. در کل، مجموع غنی شدگی عناصر Ni, Cu, Co و Mn است [۶]. در کانسارهای گرمابی کمتر از یک درصد وزنی و در ذخایر آبراز در کانسارهای منگنز قره‌سبلان بیش از این مقدار است [۲۸]. نمونه‌های منگنز قره‌سبلان با مجموع مس، نیکل و کبالت در گستره ۰,۰۵۱ تا ۰,۳۳۱ (میانگین ۰,۱۷۶ درصد وزنی؛ جدول ۱) و با توجه به نمودار سه متغیره Fe-Mn-(Ni+Co+Cu) [۲۹، ۳۰]، در گستره کانسارهای گرمابی قرار دارند (شکل ۶).

قره‌سبلان، نسبت Mn/Fe بین ۳/۷۸ تا ۱۴۹/۸۵ (با میانگین ۴۱/۲۲) است (جدول ۱) و بنابراین با ذخایر وابسته به نهشتهداری گرمابی هموارانی دارد. همچنین کان و همکاران [۲۴] معتقدند که نسبت Mn/Fe در نهشتهداری آتشفسانی-رسوبی منگنز و نهشتهداری گرمابی بسیار متغیر بوده و این امر از مهمترین ویژگی‌های این ذخایر است.

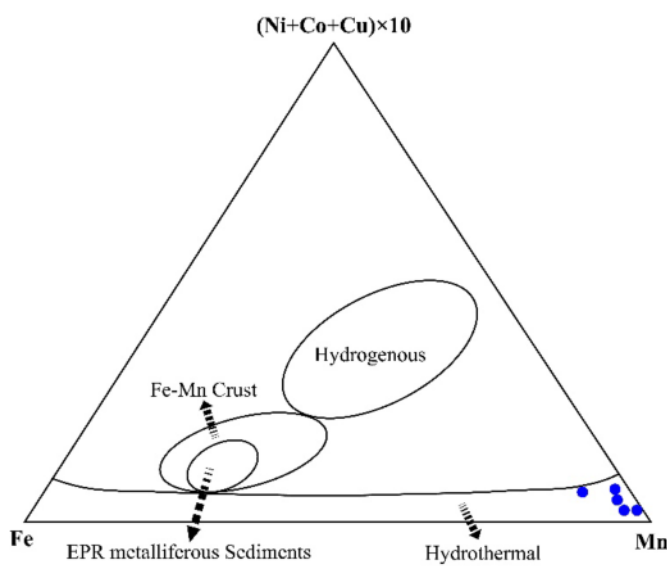
Ti و Al و Ti: تیتانیوم در محلول‌های گرمابی عنصری نامتحرك است و می‌تواند به عنوان شاخصی برای اندازه گیری مقدار مواد آواری مخلوط شده با نهشتهداری کار رود [۲۵]. از سوی دیگر، غلظت قابل توجه Al به همراه کانسنگ اکسیدی منگنز شاخصی برای احتمال آمیختگی مواد رسی و آواری طی رسوب‌گذاری است [۲، ۲۶، ۲۷]؛ به عبارتی، هر دو عنصر خاستگاه مواد آواری دارند. بنابراین در کانسارهای گرمابی زیردریایی، مقادیر کم Ti با غلظت پایین Al متناظر است. مقدار Al کانسنگ ذخیره قره‌سبلان بین ۰,۱۹ تا ۱,۷۰ درصد وزنی (با میانگین ۱,۰۷ درصد وزنی) است. مقدار Ti این ذخیره نیز در گستره ۰,۰۳ تا ۰,۰۶ (میانگین ۰,۰۵ درصد وزنی) است (جدول ۱). مقادیر پایین Al و Ti در ذخیره منگنز قره‌سبلان بیانگر خاستگاه گرمابی آن است.

عناصر کمیاب

کانسارهای گرمابی منگنز بر پایه غنی شدگی در عناصر As, Ba, Cu, Pb, Sb, Sr, Li, Cd, Mo, V, Zn

جدول ۱ نتایج تجزیه شیمیایی عناصر اصلی و کمیاب نمونه‌های منگنز قره‌سبلان به روش ICP-MS (عناصر اصلی بر حسب wt.% و عناصر کمیاب بر حسب ppm گزارش شده‌اند).

نمونه	SiO ₂	Al ₂ O ₃	Fe ₂ O ₃	CaO	Na ₂ O	K ₂ O	MgO	TiO ₂	P ₂ O ₅	MnO ₂	مواد	مجموع	Mn	Fe	Mn/Fe	Fe/Mn	Al	Ti			
GH1	۱۴/۱۴	۳/۲۱	۳/۹۶	۱/۸۲	۰/۳۱	۱/۹۱	۰/۶۳	۰/۱۰	۰/۵۴	۶۸/۷۵	۴۱۰	۹۹,۵۷	۵۳,۲۴	۳,۰۸	۱۷,۳۰	۰,۰۶	۱,۷۰	۰,۰۶			
GH2	۱۲,۷۳	۱,۷۹	۳,۷۱	۱,۶۲	۰,۳۶	۱,۸۷	۰,۶۹	۰,۰۸	۰,۲۰	۱۵۶۱	۱۵,۳۰	۹۹,۵۰	۴۷,۳۶	۲,۸۸	۱۶,۴۲	۰,۰۶	۰,۹۵	۰,۰۵			
GH3	۱۲,۶۱	۲,۱۴	۳,۷۴	۱,۸۱	۰,۴۴	۲,۵۱	۱,۰۲	۰,۰۹	۰,۰۵	۷۰,۳۱	۳,۱۳	۹۸,۸۵	۴۵,۵۴	۲,۹۱	۱۸,۷۳	۰,۰۵	۱,۶۶	۰,۰۵			
GH4	۴,۱۴	۱,۶۴	۰,۵۲	۱,۶۹	۰,۲۸	۴,۳۰	۰,۵۹	۰,۱۱	۰,۷۲	۷۸,۲۱	۷,۱۶	۹۹,۳۶	۶۰,۵۷	۰,۴۰	۱۴۹,۸۵	۰,۰۱	۰,۸۷	۰,۰۶			
GH5	۲,۸۴	۰,۳۶	۱۷,۱۷	۳,۶۲	۰,۲۹	۲,۲۶	۰,۵۱	۰,۰۶	۰,۷۸	۶۵,۲۱	۷,۰۱	۱۰۰,۰۱	۵۰,۰۵	۱۲,۳۵	۳,۷۸	۰,۲۶	۰,۱۹	۰,۰۳			
نمونه	Cr	Hf	W	Pb	Th	U	Ba	Zn	Co	Ni	Cu	Rb	Sr	Y	Nb	Mo	V	Ga	Co/Zn	Co/Ni	U/Th
GH1	۴۶۲	۱,۸	۸۷,۲	۳۶,۳	۱۶,۳	۱۸,۱	۱۲۴۱	۷۴۱	۶۲	۸	۴۴۱	۳۵	۱۱۱	۶,۸	۱,۵	۷,۲	۱۱۰	۱۶,۶	۰,۰۸	۷,۷۵	۱,۱۱
GH2	۵۱۲	۲,۱	۷۸,۶	۲۸,۵	۲۶,۱	۱۴,۳	۱۱۵۲	۳۹۱,۷	۴۵	۲۵	۱۶۳۰	۱۵	۶۶	۱۲	۲,۴	۱۰,۱	۱۲۴	۷,۵	۰,۱۱	۱,۸۰	۰,۵۵
GH3	۴۸۱	۱,۶	۱۰,۳,۳	۳۹,۲	۱۸,۳	۷,۹	۱۰,۶۸	۴۵۱,۸	۷۰	۳۷	۳۲۱۰	۱۱۱	۱۱۶	۱۵	۲,۷	۱۱,۳	۹۲	۱۶,۱۱	۰,۱۵	۱,۸۹	۰,۴۳
GH4	۵۳۰	۱,۸	۱۱۹	۳۵,۲	۹,۱	۸,۱	۲۴۵۴	۱۳۵	۱۲۱	۶۴	۱۲۱۰	۶۸	۷۵	۱۴	۳,۱	۵,۶	۴۷	۱۵,۳	۰,۹۰	۱,۸۹	۰,۸۹
GH5	۶۴۸	۱,۵	۸۲,۵	۳۶,۳	۴۰	۱۶,۲	۲۱۶۲	۶۲۱,۶	۱۰۳	۸	۱۷۵۸	۱۴	۹۶	۱۵	۰,۵	۴,۷	۷۸	۹	۰,۱۷	۱۲,۸۸	۰,۴۱



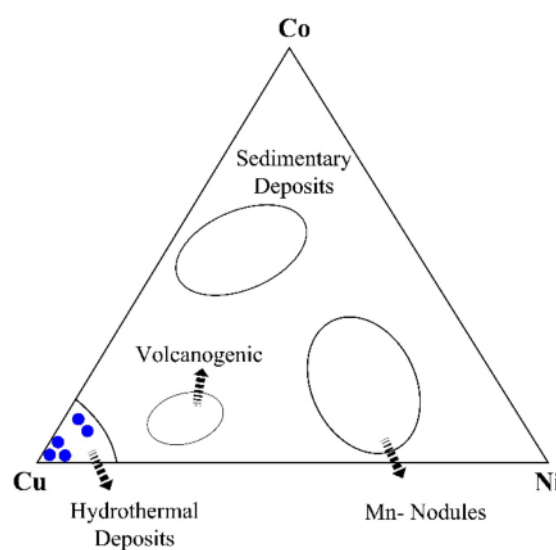
شکل ۶ نمودار مثلثی $\text{Fe}-\text{Mn}-(\text{Ni}+\text{Co}+\text{Cu})$ [۳۰، ۳۱] و قرارگیری نمونه‌های کانسنگ قره‌سبلان در گستره گرمابی.

خاستگاه فراگرمایی آن ناشی از فراوانی این عناصر در سیال‌های گرمابی است که ماهیت اکسیدی داشته و در نتیجه مانع تشکیل سولفیدها شده است. این روند با مدل ارائه شده توسط موژیر و کمپبل [۳۲] برای کانسارهای فراگرمایی منگنز هم‌خوانی دارد. از سوی دیگر، نسبت بالای Co/Zn برای تفکیک کانسارهای نوع آبزad از گرمابی استفاده می‌شود، به طوری که برای کانسارهای گرمابی کمتر از ۱۵٪ و برای انواع آبزad حدود ۲/۵ است. این نسبت برای نمونه‌های قره‌سبلان بین ۰/۸۹ تا ۰/۰۸ است (جدول ۱) که با ذخایر گرمابی هم‌خوانی دارد (شکل ۸).

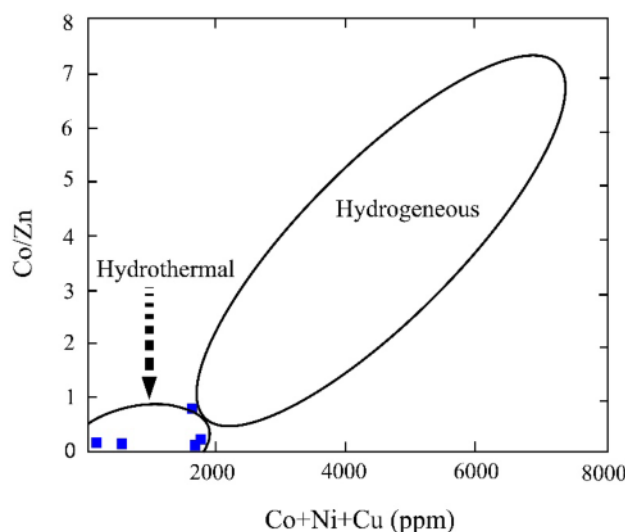
نسبت U/Th : مقدار اورانیوم در نهشته‌های گرمابی چند برابر نهشته‌های آبزad است [۳۳]. حضور توریم در ذخایر منگنز به مواد آواری نسبت داده می‌شود و وابسته به فرآیندهای زمین‌شیمیایی در محیط اقیانوسی نیست [۲۷]. از طرف دیگر، توریم به دلیل حلایت کم و زمان اقامت بسیار کوتاه تقریباً در آب دریا حضور ندارد. با این وجود، فعالیت‌های گرمابی باعث تمرکز و غنی‌شدن اورانیوم می‌شود [۳۴]. در ذخیره منگنز قره‌سبلان، نسبت U/Th بین ۰/۳۸ و ۱/۱۳ (با میانگین ۰/۶۷) است (جدول ۱). با توجه به مطالب بیان شده و نسبت بالای U/Th در نمونه‌های منگنز، می‌توان گفت که نهشت این عناصر از سیال‌های گرمابی بوده است (شکل ۹).

نمودار مثلثی Cu-Ni-Co : براساس بررسی‌های انجام شده، غلظت‌های پایین عناصر نیکل، مس، کبالت و روی مشخصه ذخایر منگنز گرمابی است [۲۶]. کبالت به تدریج به طور چشمگیری جذب اکسیدهای منگنز شده و مقدار میانگین آن از ذخایر آبزad به سمت درونزad و گرمابی بشدت کاهش می‌باید [۳۱]. همچنین براساس نمودار $\text{Cu}-\text{Ni}-\text{Co}$ (شکل ۷)، کانسارهای تشکیل شده توسط فرآیندهای آتشفسانی و گرمابی در مقایسه با سایر انواع بیشترین مقدار مس را دارا هستند [۲۱]. در این ذخیره، غلظت‌های عناصر نیکل ۸-۶۴ ppm کبالت ۱۲۱-۴۵ ppm، مس ۴۴۱-۳۲۱ ppm و روی ۷۴۱-۱۳۵ ppm است (جدول ۱). چنان که دیده می‌شود، نمونه‌های کانسنگ منگنز منطقه مورد بررسی نیز غنی از Cu هستند و در گستره کانسارهای گرمابی قرار دارند.

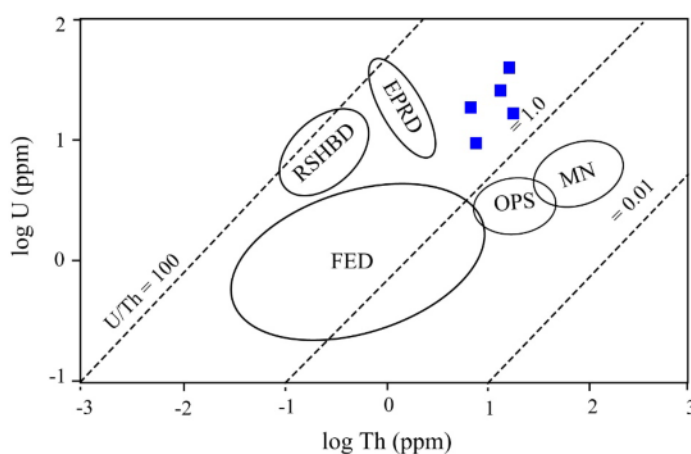
نمودار دوتایی $(\text{Co}/\text{Zn})-(\text{Co}+\text{Cu}+\text{Ni})$: این نمودار توسط توث [۵] برای تفکیک کانسارهای فرومگنز گرمابی از آبزad به کار رفت. براساس این نمودار، کانسارهای فرومگنز نوع آبزad نسبت به کانسارهای گرمابی از غنی شدنی بالاتری در عناصری چون Co , Cu , Ni و Co برخوردارند [۲۳]. مقدار پایین عناصر Co , Cu و Ni بیانگر ورود کم این عناصر از طریق فعالیت‌های گرمابی و در عوض غلظت بالای Zn در از منبع سیال‌های گرمابی است. در ذخیره قره سبلان، غلظت بالای Cu و Zn با توجه به



شکل ۷ نمودار سه تایی Ni-Cu-Co [۲۱] و قرارگیری نمونه‌های کانسنگ منگنز قره‌سبلان در گستره ذخایر گرمابی.



شکل ۸ نمودار Co/Zn نسبت به $\text{Co}+\text{Cu}+\text{Ni}$ [۵]. و موقعیت نمونه‌های ذخیره منگنز قره‌سبلان در گستره ذخایر گرمابی.



شکل ۹ نمودار تفکیک U نسبت به Th [۲۲] و وضعیت نمونه‌های کانسنگ منگنز قره‌سبلان بر آن. (FED: ذخایر بروندمی فسیل، OPS: رسوب-های گودابهای متداول، MN: گرهک‌های منگنز، RSHBD: ذخایر آبشور دریایی سرخ و EPRD: ذخایر پشت‌های وسط اقیانوس آرام).

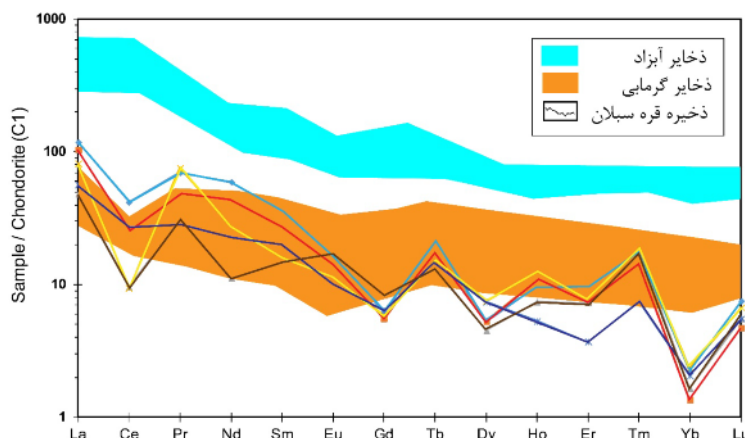
را داشته‌اند.

بر پایه پژوهش‌های انجام شده، مقادیر نسبت‌های $\text{La}_{\text{n}}/\text{Nd}_{\text{n}}$ و $\text{Dy}_{\text{n}}/\text{Yb}_{\text{n}}$ در سیال‌های گرمابی به ترتیب $3\text{-}7/4$ و $0/6\text{-}2/1$ و $0/4\text{-}1/2$ و $2/7\text{-}4/3$ در تنهنشست‌های اکسیدی منگنز، به ترتیب $3/6$ و $2/5$ ، $1/9$ و $1/1$ ، $2/0$ و $2/0$ تا $2/2$ (با میانگین $2/8/2$) گزارش شده‌اند [۱، ۲۵، ۳۶]. برای نمونه‌های ذخیره قره‌سبلان، نسبت $\text{La}_{\text{n}}/\text{Nd}_{\text{n}}$ از $4/3/2$ تا $2/0/1$ (با میانگین $3/1/6$) محاسبه و نسبت $\text{Dy}_{\text{n}}/\text{Yb}_{\text{n}}$ از $2/3/4$ تا $3/9/3$ (با میانگین $3/9/3$) محاسبه شده است. مقادیر به نسبت پایین این نسبت‌ها، خاستگاه گرمابی تشکیل این نهشت‌های منگنز را تایید می‌کند (جدول ۲).

Ce و Eu در پیش‌بینی خاستگاه سیال‌های کانه‌دار و پتانسیل اکسایش-کاهش محیط تشکیل ذخیره می‌تواند Ce سودمند باشد. ویژگی ذخایر منگنز گرمابی ناهنجاری منفی Ce و ناهنجاری مثبت Eu است [۳۷]. ناهنجاری‌های Ce و Eu به ترتیب از روابط $\text{Ce}/\text{Ce}^* = [(\text{Ce}_{\text{n}})/(\text{La}_{\text{n}} \times \text{Pr}_{\text{n}})]^{1/2}$ و $\text{Eu}/\text{Eu}^* = [(\text{Eu}_{\text{n}})/(\text{Sm}_{\text{n}} \times \text{Gd}_{\text{n}})]^{1/2}$ محاسبه شدند [۳۸]. مقادیر Ce و Eu نمونه‌ها به ترتیب در گستره $0/0/4$ تا $0/1/3$ (با میانگین $0/0/8$) و $0/0/28$ تا $0/0/38$ (با میانگین $0/0/32$) هستند (جدول ۲). در کل، نمونه‌های کانسنگ منگنز قره‌سبلان ناهنجاری‌های منفی Ce و کمی مثبت Eu را نشان می‌دهند (شکل ۱۰). از این رو چنین برداشت می‌شود که این ذخیره توسط فرایندهای گرمابی شکل گرفته است.

عناصر خاکی نادر

مقایسه الگوی عناصر خاکی نادر (REE) در ذخایر گرمابی و آبزاد (شکل ۱۰) بیانگر از غنی شدگی چشمگیر این عناصر در ذخایر گرمابی نسبت به آبزاد است [۶]. افزون بر این، ذخایر آبزاد، ناهنجاری مثبت معنی‌دار از Ce را نمایان می‌سازند، در حالی که Ce در ذخایر گرمابی دارای ناهنجاری منفی آشکاری است [۸]. نمونه‌های قره‌سبلان با داشتن ناهنجاری منفی Ce و کمی مثبت Eu همخوانی قابل قبولی با ذخایر گرمابی زیردریایی نشان می‌دهند (شکل ۱۰). نتایج تجزیه عناصر خاکی نادر ۵ نمونه از کانسنگ منگنز قره‌سبلان در جدول ۲ ارائه شده است. مقدار کل عناصر خاکی نادر (ΣREE) در گستره $3/4/5/1$ تا $1/0/0/98$ (با میانگین $6/3/7/0$) پی‌پی ام متغیر است (جدول ۲). این مقدار با ذخایر منگنز شناخته شده گرمابی همخوانی دارد [۱۹، ۳۵]. مقادیر محاسبه شده برای نسبت کل عناصر خاکی نادر سبک به سنگین ($\Sigma\text{LREE}/\Sigma\text{HREE}$) و نسبت La/Ce می‌تواند به عنوان شاخص غنی شدگی اولیه طی فرایندهای اکسایش منگنز به کار برده شود [۱، ۲۵]. کمتر بودن مقدار La از HREE نشان می‌دهد که کانی‌سازی طی فرایندهای گرمابی رخ داده است [۲۵]. نسبت LREE/HREE در کانسنگ منگنز بین $7/20$ تا $14/44$ (با میانگین $9/51$) است و می‌توان نتیجه گرفت که محلول‌های گرمابی نقش اصلی در نهشت ذخیره قره‌سبلان



شکل ۱۰ الگوی توزیع عناصر خاکی نادر بهنجار شده نمونه‌های کانسنگ قره سبلان در مقایسه با ذخایر منگنز مختلف آبزاد [۴۰] و گرمابی [۶].

جدول ۲ نتایج تجزیه شیمیایی عناصر خاکی نادر کانسنگ منگنز قره سبلان به روش ICP-MS (بر حسب .ppm)

نمونه	La	Ce	Pr	Nd	Sm	Eu	Gd	Tb	Dy	Ho	Er	Tm	Yb	Lu	ΣREE	ΣLREE	ΣHREE	La/Ce	Lan/Ndn	Dyn/Ybn	Ce/Ce*	Eu/Eu*
GH1	2/8/1	2/5/6	6/6/5	2/7/6	5/5/1	0/9/8	1/1/6	0/8	1/3/3	0/5/5	1/5/1	0/4/5	0/3/8	0/1/9	1/0/0/98	9/4/4/4	6/5/4	1/1/0	2/1	2/3/4	0/1/7	0/2/8
GH2	2/4/5	1/5/5	4/6/3	2/0/4	4/2/2	0/8/4	1/1/3	0/6/7	1/3/5	0/6/2	1/2/3	0/3/7	0/2/3	0/1/2	7/5/8/2	7/0/1/0	5/7/2	1/5/1	2/3/7	3/9/3	0/1/7	0/3/1
GH3	1/1/4/1	5/8/8	2/9/2	5/2	2/2/4	1/0/1	1/7	0/5	1/1/5	0/4/2	1/2	0/4/6	0/2/8	0/1/4	3/4/5/1	2/8/6/6	5/8/5	1/9/4	4/3/2	2/7/5	0/1/8	0/3/8
GH4	1/9/4/5	5/7/4	7/2	1/3	2/4/5	0/6/7	1/2/1	0/5/9	1/9	0/7/1	1/2/8	0/4/8	0/4	0/1/7	5/5/2/5	4/8/5/1	6/7/4	3/3/9	2/9/5	3/1/8	0/1/4	0/3/5
GH5	1/3/3	1/6/2	2/6/8	1/0/7	3/1/3	0/5/9	1/3/1	0/5/5	1/8/8	0/3	0/6/1	0/1/9	0/3/5	0/1/4	5/1/9/3	4/6/6/0	5/3/3	0/8/2	2/4/5	3/6/0	0/1/2	0/2/8

- [5] Toth J. R., "Deposition of submarine crusts rich in manganese and iron", Geological Society of America Bulletin 91 (1980) 44-54.
- [6] Usui A., Someya M., "Distribution composition of marine hydrogenetic and hydrothermal manganese deposits in the northwest Pacific", In: Nicholson, K., Hein, J. R., Bohn, B., Dasgupta, S., (Eds), Manganese Mineralization: Geological Society Publication 119 (1997) 177-198.
- [7] Ingram B. L., Hein J.R., Farmer G.L., "Age determinations and growth rates of Pacific ferromanganese deposits using strontium isotopes", Geochim Cosmochim Acta 54 (1990) 1709-1721.
- [8] Hein J. R., Koschinsky A., Halbach P., Manheim F. T., Bau Kang, J. K., Lubick N., "Iron and manganese oxide mineralization in the Pacific", In: Nicholson K, Hein JR, Buhn B, Desgupta S (eds) Manganese mineralization: Geochemistry and Mineralogy of terrestrial and marine deposits 119 (1997) 123-138.
- [9] Emamalipoor A., "Mineralogy and geochemistry of manganese-iron deposits in ophiolite sediments north of Chaldoran, northwest of Iran", Iranian Journal of Crystallography and Mineralogy 18 (2010) 3-14 (in Persian).
- [10] Rajabzadeh M., Zaman Sani N., "Study of manganese mineralization in ophiolite mixed assemblages in Bashagard and Rudan regions of Hormozgan province using mineralogical and geochemical data" Geochemistry Journal 3 (2014) 411-418 (in Persian).
- [11] Lotfi M., Kahrazehi M., Ghaderi M., "Geochemistry and origin of Dehoo manganese deposit, south Zahedan, southeastern Iran", Arab J Geosci (2017) 10(6) 142.
- [12] Rahim Zadeh B., Movahednia M., "Study of mineralization and geochemistry of manganese deposit related to Kamyaran ophiolites - Northwest of Iran", Journal of Earth Sciences (1398) 199-210 (in Persian).
- [13] Badakhshan Nojehdeh Z., "Economic geology study of Saheb Divan-Dost Bigloo region with a special attitude on hydrothermal alterations in the region". M.sc. Thesis, Faculty of Basic Sciences, Payam Noor University, East Azerbaijan Province, Iran (2010) (in Persian).
- [14] Nabavi M., "An Introduction to the Geology of Iran", Geological Survey of Iran Publication, (1976) 109 p (in Persian).
- [15] Aghanabati A., Geology of Iran: Geological Survey of Iran (2004) 586 p (in Persian).
- [16] Babakhani A. R., Khan Nazer N. H., "Geological map of Lahrud (scale 1:100,000)", Geological Survey of Iran, Tehran Iran (1991) (in Persian).

برداشت

بر پایه بررسی‌های سنگ‌شناسی، رخمنون‌های آتشفسانی-آذرآواری اؤسن در منطقه قره‌سبلان به صورت مجموعه‌های گستردۀ آندزیتی- آندزی بازالتی با بافت پورفیری در توالی با نهشته‌های آذرآواری ریوداسیتی با طیفی از توف دانه‌ریز، ایگنمبریت، لایپلی‌ توف و آکلومرا هستند. واحد آندزیتی پورفیری، برشی و دگرسان شده در بردارنده کانی‌زایی منگنز به صورت گزنه‌های پراکنده، جانشینی و سیمان پرکننده پهنه‌های برشی و رگه‌ای است. کانی‌شناسی اصلی ذخیره را پیرولوسبیت، منگانیت، پسیلوملان و اکسید و هیدروکسیدهای آهن با بافت غالب پرکننده فضای خالی، جانشینی، توده‌ای، کلوئیدی و برشی تشکیل می دهد. کانی‌سازی منگنز به صورت سیمان برش‌های گرمابی و رگه- رگچه‌ای (در محل درز و شکستگی‌ها) می‌تواند شاهد کانی‌شناسی معتبری برای رخداد گرمابی ذخیره باشد. با توجه به ویژگی‌های زمین‌شیمیایی کانسنج بر پایه عناصر اصلی - کمیاب و با استفاده از نمودارهای تفکیک خاستگاه چون Ti نسبت به Al، Mn نسبت به Fe و Co/Zn نسبت به Cu-Ni-Co و U نسبت به Th؛ بنظر می‌رسد که این ذخیره همخوانی خوبی با کانسارهای گرمابی دارد. نمودار توزیع عناصر خاکی نادر بهنجار شده به کندریت نیز نمودهایی از ناهنجاری‌های منفی Ce و کمی مثبت Eu را نشان می دهد که آشکارا با نهشته‌های گرمابی منگنز همخوانی دارد.

قدرتانی

از معاونت پژوهش و تحصیلات تكمیلی دانشگاه تبریز بدليل حمایت‌های مالی قدردانی می‌شود. نویسنده‌گان همچنین از نظرات و پیشنهادات سازنده داوران محترم مجله سپاسگزاری می‌نمایند.

مراجع

- [1] Oksuz N., "Geochemical characteristics of the Eymir (Sorgun- Yozgat) manganese deposits, Turkey", J Rare Earth 29 (2011) 87-296.
- [2] Polgari M., Hein J. R., Vigh T., Szabo-Drubina M., Forizs I., Biro L., Muller A., Toth A. L., "Microbial processes and the origin of the Urkut manganese deposit, Hungary", Ore Geol Rev 47 (2012) 87-109.
- [3] Stumm W., Morgan J.J., "Aquatic Chemistry", 3rd ed. J. Wiley and Sons, New York. 1996
- [4] Anschutz P., Dedieu K., Desmazes F., Chaillou G., "Speciation, oxidation state, and reactivity of particulate manganese in marine sediments" Chem. Geol. 218 (2005) 265-327.

- [30] Crerar D. A., Namson J., Chyi M. S., Williams L., Feigenson M. D., "Manganiferous cherts of the Franciscan assemblage: I. General geology, ancient and modern analogues, and implications for the hydrothermal convection at oceanic spreading centers", Econ Geol 77 (1982) 519–540.
- [31] Sabatino N., Neri R., Bellanca A., Jenkyns H. C., Masetti D., Scopelliti D., "Petrography and high-resolution geochemical records of Lower Jurassic manganese rich deposits from Monte Mangart, Julian Alps", Palaeogeogr. Palaeoclimatol. Palaeoecol. 299 (2011) 97–109.
- [32] Mosier D. L., Campbell D. L., "Epithermal Mn Deposits", In: du Bray, E.A. (Editor), Preliminary compilation of descriptive geoenvironmental mineral deposit models, U.S. Geological Survey, Denver, Colorado, Open-File Report 95(831) (1995) 170–173.
- [33] Bonatti E., Zerbi M., Kay R., Rydell H., "Metalliferous deposit from the Apennine ophiolites: Mesozoic equivalents of modern deposits from oceanic spreading center", Geological Society of America Bulletin 87 (1976) 83–94.
- [34] Heshmatbehzadi K., Shahabpour J., "Metallogenesis of manganese and ferro manganese ores in Baft ophiolitic Mélange, Kerman, Iran", Australian Journal of Basic and Applied Sciences, 4(2) (2010) 02–313.
- [35] Xu Bao S., Yang Zhou H., Tong Peng X., Wu Ji F., Qiang Yao H., "Geochemistry of REE and yttrium in hydrothermal fluids from the Endeavour segment, Juan de Fuca Ridge", Geochem J 42 (2008) 359–370
- [36] Fitzgerald C.E., Gillis K. M., "Hydrothermal manganese oxide deposits from Baby Bare seamount in the Northeast Pacific Ocean", Mar Geol 225 (2006) 145–156
- [37] Danielson A., Moller P., Dulski P., "The europium anomalies in banded iron formations and the thermal history of the oceanic crust", Chem Geol 97 (1992) 89–100.
- [38] Kato Y., Yamaguchi K. E., Ohmoto H., "Rare earth elements in Precambrian banded iron formations: secular change of Ce and Eu anomalies and evolution of atmospheric oxygen", Geol Soc Am Mem 198 (2006) 269–289.
- [39] Sun S.S., McDonough W.F., "Chemical and isotopic systematics of oceanic basalts; implications for mantle composition and processes" in Saunders, A.D., and Norry, M.J., eds., Magmatism in the ocean basins, Geological Society Special Publications 42 (1989) 313–345.
- [40] Von Stackelberg U., "Growth history of manganese nodules and crusts of the Peru Basin", Geol Soc Lond Spec Publ 119 (1997) 153–176.
- [17] Qahramani Oskooi N., "Study of mineralogy and geochemistry of alteration and mineralization zones of Saheb Divan region (northwest of Meshkinshahr - Ardabil province)", M.Sc. Thesis in Economic Geology, Urmia University, Iran (2015) (in Persian).
- [18] Whitney D. L., Evans B. W., "Abbreviations for names of rock-forming minerals" American Mineralogist 95 (2010) 185–187.
- [19] Zaravandi A., Lentz D., Rezaei M., Pourkaseb H., "Genesis of the Nasirabad manganese occurrence, Fars province, Iran: geochemical evidences", Chem Erde-Geochem 73 (2013) 495–508.
- [20] Karakus A., Yavuz B., Koc S., "Mineralogy and major-trace element geochemistry of the Haymana manganese mineralizations, Ankara, Turkey", Geochem Int 48 (2010) 1014–1027.
- [21] Nicholson, K., "Contrasting mineralogical geochemical signatures of manganese oxide: Guides to metallogenesis", Economic Geology 87 (1992) 1253–1264.
- [22] Rona P., Bostrom K., Laubier L., Smith K., "Hydrothermal processes at sea floor spreading centers", Published in cooperation with NATO Scientific Affairs Division (1983) 796 p.
- [23] Glasby G. P., "Manganese: predominant role of nodules and crust", In: H.D. Schulz and M.Z. Zabel (Editors), Marine Geochemistry. Springer-Verlag, Berlin (2000) 335–372.
- [24] Cann J. R., Winter C. K. Pritchard R. G., "A hydrothermal deposit from the floor of the Gulf of Aden", Mineralogical Magazine 41(318) (1977) 193–199.
- [25] Şaşmaz A., Türkyilmaz B., Öztürk N., Yavuz F., Kumral M., "Geology and geochemistry of Middle Eocene Maden complex ferromanganese deposits from the Elazığ-Malatya region, eastern Turkey", Ore Geol Rev 56 (2014) 352–372.
- [26] Choi J. H., Harya Y., "Geochemistry and depositional environment of Mn oxide deposits in the Tokoro belt, Northeastern Hokaido, Japan", Econ. Geol. 87 (1992) 1265–1274.
- [27] Maynard J. B., "The chemistry of manganese ores through time: a signal of increasing diversity of earth-surface environments", Econ Geol 105 (2010) 535–552.
- [28] Jach R., Dudek T., "Origin of a Toarcian manganese carbonate: silicate deposit from the Krzna unit, Tatra Mountains, Poland", Chem Geol 224 (2005) 136–152
- [29] Bonatti E., Kraemer T., Rydel H., "Classification and genesis of submarine iron-manganese deposits", In: Horn DR (ed) Ferromanganese deposits on the ocean floor. Natl Sci Found Washington DC (1972) 149–166.